

ビジネス向けマルチプロセッササーバにおける ウイークリィオーダメモリモデルの設計と評価

森 岡 道 雄[†] 中三川 哲 明[†]
 黒 澤 憲 一[†] 石 川 佐 孝^{††}

ビジネス向けマルチプロセッサを対象に、ウイークリィオーダモデルを効率よく実装するキャッシュ保証方式の提案と評価を行った。ビジネス向けのトランザクション処理では、OS共有データのピンポン現象やタスク競合に起因するキャッシュミスが性能低下の大きな要因となっており、ウイークリィオーダモデルを活用したメモリアクセスのパイプライン化やレイテンシ隠蔽が重要な課題である。本論文では、代表的なキャッシュ制御方式であるライト無効化方式とライト更新方式それぞれを対象に考察した。ライト無効化方式では、ストアミスのみを登録するストアミスバッファとノンブロッキングキャッシュを組み合わせることによって、複数のキャッシュミス処理をパイプライン処理する方式を提案した。また、ライト更新方式では、プロードキャスト処理を一定期間遅延させることによって、複数のプロードキャストをまとめて処理する遅延プロードキャスト方式を提案した。OS処理やタスクスイッチの影響も含めて評価できるシミュレータを構築し、性能評価を行った。その結果、ストロングオーダモデルに比較して、ストアミスバッファ方式では、キャッシュミス処理の並列化が可能となり、4.8~10.3%の性能向上が得られることを明らかにした。また、遅延プロードキャスト方式では、プロードキャスト頻度を半減でき、9.0~24.7%の性能向上を達成できることを明らかにした。

Design and Evaluation of the Weakly Consistency Memory Model for Business Multi-Processor Server

MICHIO MORIOKA,[†] TETSUAKI NAKAMIKAWA,[†] KENICHI KUROSAWA[†]
 and SAKOU ISHIKAWA^{††}

This paper discusses the architecture and performance of a cache coherent mechanism under the weakly consistency model for a business multi-processor server. In an OLTP (On Line Transaction Processing) system, cache misses due to task conflicts and ping-ponging of the kernel shared data degrade the performance of the multi-processor. Since the weakly consistency model allows the pipelining or latency hiding of memory accesses, it becomes important feature for the multiprocessor. We propose a store miss buffer architecture for the write-invalid protocol. This architecture combines the store buffer, which only holds the store misses, and the non-blocking cache in order to execute the load/store miss recovery in parallel. As for the write-update protocol, we propose the delayed broadcast architecture, which can delay and accumulate the broadcast transactions in order to reduce frequencies of the broadcast transactions. Proposed architecture are evaluated by trace-driven simulator which can evaluate the OLTP including kernel activities. The main findings are that the store miss buffer architecture can improve performance by 4.8~10.3% compare to the strong order consistency model; and the delayed broadcast architecture is effective to reduce frequencies of the broadcast transactions. So it can improve performance by 9.0~24.7%.

1. はじめに

銀行・証券や座席予約システム等のビジネス分野で、高性能・拡張性を兼ね備えたマルチプロセッササーバーの重要性が高まっている^{1)~3)}。代表的なビジネスシステムであるOLTP (On-Line Transaction Process-

ing)では、ディスクやネットワークへのアクセス頻度の高い多数個のタスクが同時に実行される。このため、マルチプロセッサ上で実行するとOS共有データのピンポン現象やタスク競合に起因するキャッシュミスの頻度が高くなり、メモリ性能がシステム全体の性能を左右する重要な要因となる。

メモリ性能を大幅に改善できるメモリモデルとして、ウイークリィオーダモデルが注目されている^{4),5)}。これは、共有データの排他制御をプログラム責任とし、プロセッサが一旦アクセス権を得たなら、共有データ

† (株)日立製作所 日立研究所

Hitachi Research Laboratory, Hitachi, Ltd.

†† (株)日立製作所 オフィスシステム事業部

Office Systems Division, Hitachi, Ltd.

へのロード・ストアをアウトオブオーダで実行可能とするモデルである。本方式とノンブロッキングキャッシュ⁶⁾を組み合わせることによって、メモリアクセスのパイプライン化やレイテンシを隠蔽することが可能となる。ウイークリィオーダモデルを十分活かすためには、1つのプロセッサからの複数のメモリアクセスを並列に処理できる機構が不可欠である。従来これらの機構を効率良く実現する方式を提案した論文は少ない^{6),7)}。また、ウイークリィオーダモデルの性能評価に関しては、従来数多くの論文が発表されている^{9),10)}。しかし、主に科学技術計算プログラムによる評価が中心であり、OLTPプログラムにおける効果を定量的に評価した論文はない。特に、OLTPプログラムでは約3~4割がOSの処理と言われており⁸⁾、タスクスイッチによる影響やタスク同士の競合といった点で科学技術計算プログラムとは異なる特性を持つと考えられる。

本論文では、著者等が試作したビジネス向けマルチプロセッササーバを対象に、ウイークリィオーダモデルを効率良く実現するキャッシュ一致保証方式を検討する。代表的なキャッシュ制御方式である、ライト無効化方式とライト更新方式それぞれについて考察する。ライト無効化方式では、従来のストアバッファを拡張し、ストアミスのみを登録するストアミスバッファ方式を提案する。本方式により、ロードミス処理とストアミス処理を並列処理するとともに、複数のストアミス処理をパイプライン化することが可能となる。一方、ライト更新方式については、ブロードキャスト処理を一定期間遅延させることによって、複数のブロードキャストをまとめて処理する遅延ブロードキャス

ト方式を提案する。これら方式の性能評価に関しては、OLTPの評価に適したトレースドリブンシミュレータを構築する。これは、OLTPの命令トレースを入力として、OS処理やタスクスイッチの影響も含めて評価できるシステムである。

2. マルチプロセッサの概要と課題

2.1 システム構成

対象としたマルチプロセッサ試作機の構成を図1に示す。プロセッサは、120 MHzのRISCプロセッサであり、キャッシュは命令・データ融合で、容量は4 Mバイトまで拡張できる。ラインサイズは32バイトでコピーバック方式を探る。マルチプロセッサバスは8バイト幅のアドレス・データマルチプレックスであり、60 MHzで動作する。スプリットバス方式により、実効性能で384 Mバイト/秒を実現する。主メモリは、2バンク4ウェイのインターリープ方式により最大480 Mバイト/秒のデータ転送性能を持つ。マルチプロセッサバスでは、スヌープ方式によってキャッシュ一致保証

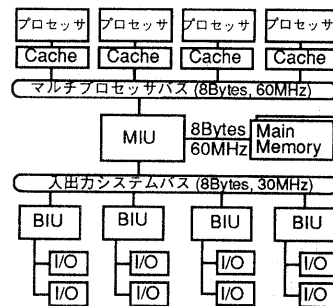


図1 マルチプロセッササーバのシステム構成
Fig. 1 System organization of the multi-processor server.

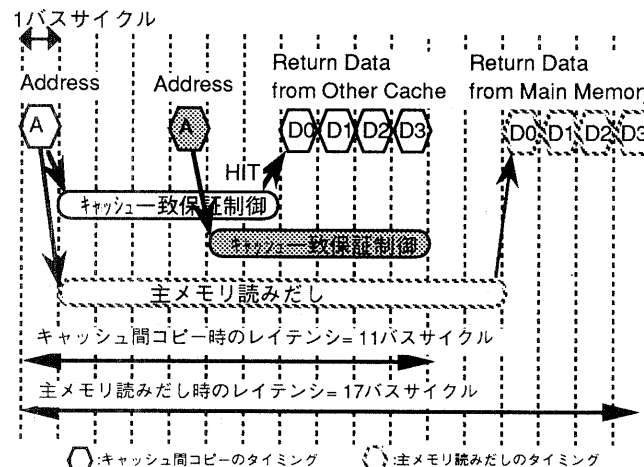


図2 マルチプロセッサバスの基本動作
Fig. 2 Basic transaction on the multi-processor bus.

を行う。ライト無効化方式を基本とし、キャッシュメモリ内の各ラインが Modified, Exclusive, Shared, Invalid の 4 状態をとりうるキャッシュ一致保証プロトコル¹¹⁾を採用する。図 2 にキャッシュ一致保証機構の基本動作を示す。あるプロセッサがデータ読みだしのトランザクションを発行すると、すべてのプロセッサにおいてキャッシュ一致保証制御が起動される。この時主メモリの読みだしも並列に起動される。キャッシュ一致保証の結果は、6 パスサイクル後に報告される。競合を避けるために図 2 に示すように 2 つのキャッシュ一致保証制御をパイプライン処理できる。キャッシュ一致保証の結果、最新データが他プロセッサのキャッシュにあれば、プロセッサ間で直接データが転送される(キャッシュ間コピー)。

2.2 OLTP システムにおける課題

OLTP プログラムは、大規模データベースに対する読みだし・更新要求を受け付け処理するといった比較的単純なタスクが、多数個並列に処理されるプログラムである。マルチプロセッサの性能を低減させる要因として以下の 2 つが考えられる。第 1 は、頻繁な I/O 処理のためにタスクスイッチの頻度が高くなる。このため、キャッシュ上に登録されたデータ構造が、他のタスクによって破壊されてしまい、キャッシュミス率が高くなる。第 2 は、ネットワークやディスクアクセスに関連してシステムコールの発生頻度が高くなる。1 トランザクションで 24 回のシステムコールが発行されるとの報告もある⁸⁾。このため、ユーザ空間とカーネル空間での実行が頻繁に入れ替り、キャッシュ上で競合しミス率が高くなる。また、OS が管理する I/O 管理テーブル等のタスク間共有データが各プロセッサのキャッシュメモリ間で干渉を起こし、性能低下の原因となる。

特に、キャッシュ容量が数 M バイトまで大きくなると、タスク間共有データのキャッシュ間干渉が性能低下の主な原因になってくる。代表的なキャッシュ間干渉の制御方式には、ライト無効化方式とライト更新方式がある。ライト無効化方式は、あるプロセッサが共有データに書き込みを行うときに、他プロセッサのキャッシュに登録されている対応データを無効化する方式である。一方、ライト更新方式は、共有データに書き込む時には、他のすべてのプロセッサに変更内容をブロードキャストする方式である。

OLTP プログラムをライト無効化方式のマルチプロセッサで実行すると、各プロセッサが共有データにアクセスするたびに、タスク間共有データが複数のキャッシュを行ったり来たりするピンポン現象が発生

し、ミス率が増大する。一方、ライト更新方式では、タスク間共有データへの書き込みは、すべてのプロセッサにブロードキャストされるため、ピンポン現象によるミス率増加を低減できる。しかし、ブロードキャストの頻度が多くなり、ブロードキャスト処理待ちのために性能が大幅に低下するといった問題がある。これらの課題を解決する手段として、ウイークリィオーダモデルを活用しキャッシュミス時のメモリアクセスをパイプライン化したり、ブロードキャスト等のキャッシュ一致保証処理を命令実行の裏に隠蔽することによって、性能向上をはかる技術が注目されている。

3. 高性能キャッシュ制御方式

本章では、ウイークリィオーダモデルの概要を述べ、これを効率良く実装する高性能キャッシュ制御方式を提案する。

3.1 ウイークリィオーダモデルの概要

従来のマルチプロセッサでは、共有メモリへのアクセスに対してストロングオーダモデルを採用したものが多い。これは、マルチプロセッサ上の並列プログラムの実行があたかも 1 台の計算機の上で時分割に実行された結果と同じように見えるモデルである⁹⁾。本モデルによれば、プログラム間の排他制御を変数の操作で容易に記述できる利点がある。しかし、このモデルを実現するには共有メモリへのロード・ストア命令はプログラムに現れた順序を厳密に守らねばならない。このためストアアクセスのバッファリングやメモリアクセスのパイプライン化が難しくマルチプロセッサの性能を十分に引き出すことができない。これに対してウイークリィオーダモデルは、共有メモリの排他制御をプログラム責任とし、プロセッサが一旦アクセス権を得たなら、共有メモリへのロード・ストアをアウトオプオーダで実行可能とするモデルである。メモリオーダの緩さによっていくつかのモデルが提案されている^{4), 5)}。本モデルによって、メモリアクセスのパイプライン化やレイテンシを隠蔽することが可能となる。

3.2 実装上の課題

メモリアクセスのパイプライン化やレイテンシ隠蔽を実装する場合、ロードアクセスよりもストアアクセスでの効率が高い。これは、ロードアクセスでは必要なデータがロードされるまで命令実行が継続できないのに対し、ストアアクセスは置いてきぼり制御が可能なためである。また、我々の評価では OLTP ではストアミスの頻度が全データミスの約 50~60% を占め、ストアミス処理を隠蔽することにより高い効果が期待できることが明らかになっている。図 3 に従来型ストア

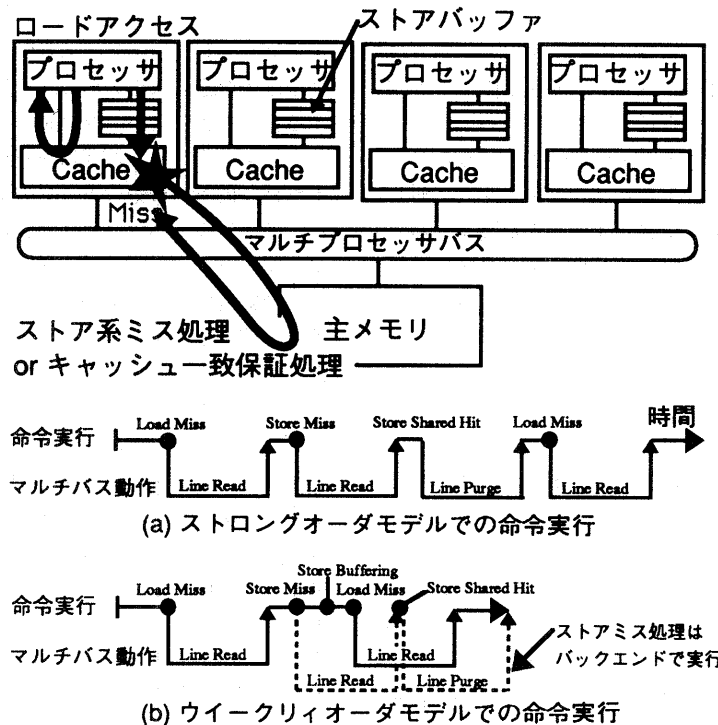


図3 ウイークリィオーダモデルの概要
Fig. 3 Concepts of the weakly order model.

バッファを活用したウイークリィオーダ方式の実装例を示す。プロセッサとキャッシュの間にストアバッファを設ける。ストアバッファは、ストアアクセスがキャッシュミスを起こすと、該ストアアクセスを保留しておき、対象データをキャッシュにロードした後、保留していたキャッシュメモリへの更新処理を実施する。一方、ロードアクセスはアドレス競合が起きない限りストアバッファをバイパスしてキャッシュをアクセスできる。キャッシュはロックアップフリーであり、ストアミス処理中あるいはキャッシュ一致保証処理中(他プロセッサに対するデータページやデータブロードキャスト)でもアクセスを許す。図3(a)の命令実行タイミングに示すようにストロングオーダでは、1つのミス処理が完了するまで次の処理に進むことができず、ストアバッファやノンブロッキングキャッシュを活用できない。一方、ウイークリィオーダ方式(b)では、ストアミス処理・キャッシュ一致保証処理の置いときばかり制御による効果や、ロードミス処理とストアミス処理をパイプライン化する効果により、ストア処理に伴う待ち時間を隠蔽することが可能である。

しかし、本方式では以下の問題点がある。ストアミス処理やプロードキャスト処理等を置いてきぱりにできるが、データアクセスのローカリティから、ストア

表1 同一ラインへのストア-ロード間隔
Table 1 Distance from a store to following load to a same line.

同一ラインへの Store-Load 命令間隔	Load 命令当りの 発生率 (%)	全体に占める 割合 (%)
0— 15	10.6	49.5
16— 31	1.3	6.2
32— 63	1.4	6.4
64— 127	1.2	5.8
128— 255	1.4	6.7
256— 511	1.4	6.5
512—1023	0.8	3.6
1024—	3.3	15.4
合 計	21.5	100.0

処理中のラインに続いてロードアクセスが発行される確率が高いと予想される。表1は、実際にOLTPプログラムの命令トレースを分析し、同一ラインへのストアアクセスと後続ロードアクセスの命令間隔の分布を示した。この結果、ロードアクセスの21.5%が同一ラインのストアアクセスに続いて発生し、このうちの約半分である10.6%は0~15以下の命令間隔で発生することが明らかとなった。このため、ライト無効化方

式では、ストアミス発生に伴ってストアバッファに滞留が起こると、滞留しているストアアクセスと同一のアドレスに対して後続のロードアクセスが発生する確率が高い。また、ライト更新方式でもブロードキャスト待ちによってストアバッファの滞留が多くなると、滞留しているストアアクセスと同一のアドレスに対して後続のロードアクセスが発生する確率が高くなる。この場合、後続のロードアクセスは、アドレス競合を起こしたストアアクセスの処理が終了し、ストアバッファから掃き出されるまで待たされてしまい、ストア処理を十分隠蔽することができないといった問題が発生する。

3.3 ストアミスバッファ方式

ライト無効化方式において上記問題点を解決するには、ストアミスに伴って発生するストアバッファの滞留エントリ数を極力低減することが必要である。そこで、従来のストアバッファを拡張したストアミスバッファ方式を提案する。本方式の狙いは、ストアミスのみを登録する効果と、複数のストアミス処理をパイプライン処理する効果により、ストアバッファの滞留数を削減し、競合を低減することにある。

図4に、ストアミスバッファ方式の概念と、従来型ストアバッファとの比較を示す。ストアミスバッファ

では、バッファに登録する前に一旦データキャッシュをアクセスし、ストアミスあるいは、キャッシュ一致保証制御が必要なもののストアミスバッファに登録する。ストアミスバッファにエントリがあれば、必要なトランザクションが発行される。エントリが複数個あれば、同時に複数のトランザクションが発行される。ストアミスバッファには、同時に発行された各トランザクションに対して、キャッシュ一致保証処理の終了を監視する機能を設ける。キャッシュ一致保証の終了を確認後、キャッシュメモリに対して保留していた更新処理を実施する。これにより、ストアミスあるいはキャッシュ一致保証処理中、キャッシュメモリをプロセッサに開放し、ロックアップフリー動作を可能にする。また、ストアミス処理中のラインへのストア命令は、アドレス比較によって検出されストアミスバッファ登録のみが行われる。従来型のストアバッファでは、図4(a)に示すようにストアミス処理が逐次的に処理されるため、前章で述べたように後続のロードアクセスがストアバッファとアドレス競合を起こし、命令の実行が中断される。一方、ストアミスバッファ方式(b)では、ストアミス処理のパイプライン化が可能となり、滞留エントリを高速に処理することが可能である。更にストアミスしたもののみを登録するので、

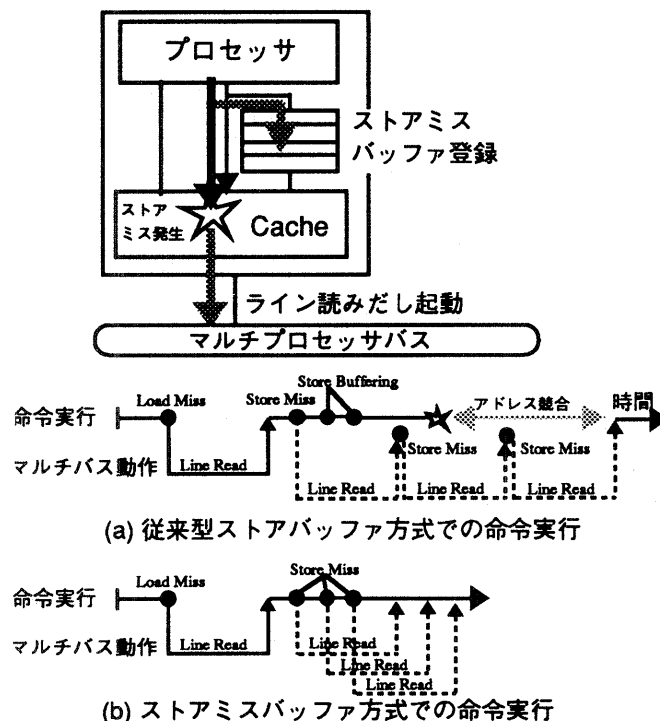


図4 ストアミスバッファ方式
Fig. 4 Concepts of the store miss buffer.

滞留エントリ数を削減でき、ロードアクセスとのアドレス競合を低減できる効果がある。

3.4 遅延ブロードキャスト方式

ライト更新方式では、ブロードキャストの頻度が高いために、ストアバッファの滞留が多くなり、後続のロードアクセスが競合を起こし性能低下の大きな要因となっている。これを解決するには、ブロードキャストの処理性能を高めストアバッファの滞留エントリ数を低減することが必要である。そこで、ウイークリィオーダモデルの特性を活かし、ブロードキャスト処理をバッファリングして一定期間遅延させ、複数のブロードキャストをまとめて処理する遅延ブロードキャスト方式を提案する。図5は、遅延ブロードキャスト方式の概念を示す。ストアバッファからのアクセスでブロードキャストが必要な場合、キャッシュに書き込むとともに、該当ラインを一旦ブロードキャストバッファに登録する。この時、ブロードキャストバッファに既に同一ラインが登録されていれば該エントリにデータを書き込む。オーバフローを避けるために、ブロードキャストバッファに滞留できるエントリ数を限定する。限定数を超過した場合は古いエントリから追い出される。ブロードキャストバッファのエントリは以下の条件でマルチプロセッサバスにブロードキャストされる。すなわち、同期命令が発行されたとき、許された滞留エントリ数を超過したとき、許された滞留時間を超過したときである。本方式によれば、ストアアクセスのローカリティから、複数のブロードキャストをまとめてブロードキャストすることが可能となり、ブロードキャストの処理性能を大幅に改善することが可能となる。

4. 性能評価環境

4.1 評価システム

OLTPプログラムでは、タスクスイッチやI/O制御も含めた評価が不可欠である。しかし、これらをソフ

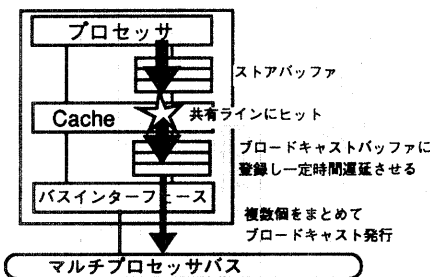


図5 遅延ブロードキャスト方式

Fig. 5 Concepts of the delayed broadcast buffer.

トウェアだけで評価することは困難であり、一般にはマルチプロセッサ実機のハードウェアモニタで評価が行われている^{12),13)}。これに対し本論文では、OLTPの特徴を活かし、OS動作を含めた評価が可能なトレースドリブンシミュレータを構築した。本システムは、命令トレーサとマルチプロセッサシミュレータから構成される。命令トレーサ¹⁵⁾により、単一プロセッサ実機上でOLTPプログラムを実行し1トランザクション相当の命令列を複数採取する。この命令列は、タスクスイッチやシステムコールといったOS処理を含み、ロードストア命令ではそのメモリアドレスも一緒に採取する。マルチプロセッサシミュレータでは、採取した複数の命令トレースをそれぞれプログラムカウンタを持ったサーバタスクとみなしサーバプールを定義する。そして、複数のサーバタスクを並列に実行し、マルチプロセッサバスやメモリシステムの動作を1サイクル単位で模擬する。タスクスイッチポイントに来ると指定されたタスクスケジュールに従い、サーバプールから次に実行すべきサーバタスクが選択される。

4.2 マルチプロセッサモデル

試作したマルチプロセッサは、命令・データキャッシュ融合を採用しているが、本評価ではマルチプロセッサバスの動作を分析することに重点を置き、単純な命令・データ分離型のモデルで評価した。各キャッシュは、ダイレクトマップ方式、コピーバック型で、ラインサイズは32バイトとした。ダイレクトマップ方式を前提にした理由は、最近の高性能プロセッサでは、数メガバイトの大容量外付けキャッシュとして市販SRAMを活用することが一般的であり、この時キャッシュアクセス時間短縮のためダイレクトマップ方式を採用するものが多いからである。ただし、本評価では、単純なダイレクトマップ方式ではなく、タスク番号でキャッシュ検索アドレスをハッシュする方式を前提とした。これにより、キャッシュ競合を低減できミス率を改善できる効果がある。また、キャッシュはウォームスタートとする。待機するサーバタスク数は1プロセッサ当たり16タスクとし、ラウンドロビンポリシーで割り当てられる。

メモリアクセスのレイテンシは、競合が無い場合キャッシュヒットで1マシンサイクル、キャッシュミスで39マシンサイクルとした。キャッシュヒットで1マシンサイクルのレイテンシはかなり高速だが、高速SRAMや最新技術であるセルフトライムド論理(キャッシュアドレスと送信クロックを同時に転送する方式)などの採用により実現可能と判断した。キャッシュ一致保証のタイミングは図2に示したモデルを仮定す

る。ライト無効化方式では、全アドレス領域をライト無効化プロトコルのモデルで評価するが、ライト更新方式では、カーネル領域のみライト放送プロトコルとし、ユーザ領域はライト無効化プロトコルとするモデルで評価した。これは、OLTPでは、タスク間共有データはカーネル領域だけであり、カーネル領域だけをブロードキャストする方式が最適と判断したためである。

本評価システムの限界は以下のようである。ウイークリィオーダモデルにおける同期命令のオーバヘッドを評価できない。これは、基本となる命令トレースが単一プロセッサ実機上で採取されたため同期命令が明示されていないことに起因する。同期命令の影響は、同期命令出現頻度が1回/10,000サイクル～1回/250サイクルのプログラムで約1%～10%程度との報告がある⁹⁾。OLTPでは、OSによる同期命令が中心となり、その出現頻度は約3,000サイクルに1回程度といわれている¹³⁾。従って、OLTPにおける同期命令の影響は、数%程度と予想される。

4.3 ベンチマークプログラム

評価には、OLTPの代表的なベンチマークである

表2 命令出現頻度の比較
Table 2 Comparison of instruction frequencies.

Instruction	TPC-B	SPEC 89	
		Integer Gr.	Floating Gr.
Load	23.2%	26.8%	35.6%
Store	12.1%	10.5%	10.0%
Branch	Conditional	17.3%	17.9%
	Un-conditional	5.8%	4.1%
Others	41.6%	40.7%	48.2%

表3 アドレス領域ごとのアクセス比率
Table 3 Memory access ratios of each address area.

Space	Area	Ratio(%)	Write Ratio(%)
User	Text	27.7	27.7
	Data	10.2	26.3
	User_stack	10.6	35.1
	U_area	2.1	54.6
	Kernel_stack	3.9	51.6
Kernel	Text	34.5	34.5
	Data	3.0	22.3
	Interrupt_stack	2.8	47.5
	Shared-Memory	2.7	33.7
	Other_data	2.5	18.7
sum		100.0	100.0

TPC-B¹⁴⁾を用いた。表2は、TPC-BとSPEC 89の命令出現頻度を比較したものである。TPC-BはSPEC 89の整数系プログラムとほぼ同等の命令出現頻度となっているが、OS動作などかなり異なる特徴を持つと予想される。表3は、アドレス領域ごとのアクセス比率を示している。I/O関連のシステムコールや割り込み処理のために、カーネル領域へのアクセスが全体の45%を占める。データ領域だけでみるとカーネルアクセスが29%を占める。タスク間共有データの比率はカーネルデータ領域の比率と同じであり11%となる。ユーザ・カーネル領域におけるスタック構造のライト比率は約50%となっている。

5. 評価結果

5.1 TPC-B 基本特性

図6、図7はストロングオーダモデルにおける命令・データキャッシュのミス率分析を示す。ウイークリィオーダモデルでも結果は同様になる。図中、4台マルチと単一プロセッサを比較して示しており、またデータキャッシュでは、ライト無効化方式とライト更新方式を比較している。キャッシュ容量が64 KBと小さい場合、データミス率よりも命令ミス率のほうが大きくなる。これは、OLTPでは科学技術計算に比べてループ処理が少なく、また、頻繁なシステムコールによってユーザとカーネルが競合を起こすためと考えられる。命令ミス率はキャッシュ容量の増加に伴って大幅に減少する。これは、OLTPでは共有ライブラリを使用する頻度が高く、命令の再利用率が高くなるためである。

データキャッシュでは、キャッシュ干渉に伴うミス要因として共有ミス、マイグレートミスが重要になってくる。共有ミスは、主にカーネル領域において共有データのピンポン現象に起因するミスである。マイグレートミスは、タスクがマイグレートすることによつ

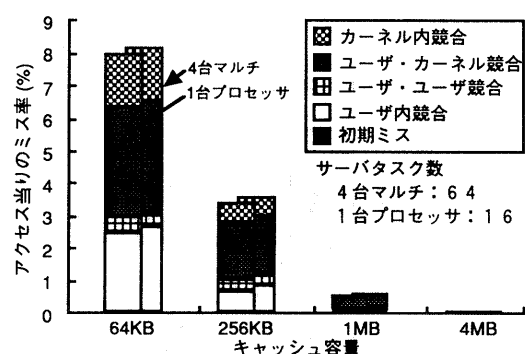


図6 命令キャッシュのミス率
Fig. 6 Miss ratios for the instruction cache.

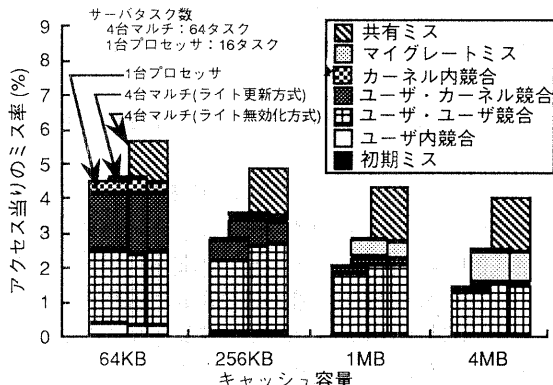


図 7 データキャッシュのミス率

Fig. 7 Miss ratios for the data cache.

表 4 ロードミス／ストアミスの比率
Table 4 Ratios of load miss and store miss.

ライト 処理方式	キャッシュ 容量	Load Miss(%) (命令当り)	Store Miss(%) (命令当り)	L/S 比率
ライト 無効化方式	64 KB	1.00	0.87	1.15
	256 KB	0.83	0.82	1.01
	1 MB	0.70	0.72	0.97
	4 MB	0.63	0.72	0.88
ライト 更新方式	64 KB	0.79	0.77	1.03
	256 KB	0.57	0.62	0.92
	1 MB	0.42	0.52	0.81
	4 MB	0.35	0.50	0.70

て、他プロセッサ上に登録していた自分のデータ構造を無効化することに起因するミスである。ライト無効化方式では、キャッシュ容量を増すにつれて共有ミス、マイグレートミスの占める割合が高くなる。このため、データミス率は大容量キャッシュにも係わらず高い比率になる。一方、ライト更新方式では、共有データを毎回プロードキャストすることによりピンポン現象を避けることができ、共有ミスを低減できる。

表 4 は、命令当たりのロード・ストアミス発生率とその比率を示している。ライト無効化方式、ライト更新方式共に、ロード・ストア命令の出現頻度が 2 対 1 であるのに対し、ミス率の比率はほぼ同等となっている。このことから、OLTP ではストアミス処理を隠蔽することによって高性能化できることが明らかになった。

5.2 ストアミスバッファ方式の効果

図 8 は、ライト無効化方式に関して、ストロングオーダ方式(SO), 従来型ストアバッファを用いたウイークリィオーダ方式(WO), および提案したストアミスバッファ方式(SMB) の CPI (Cycle Per Instruction)

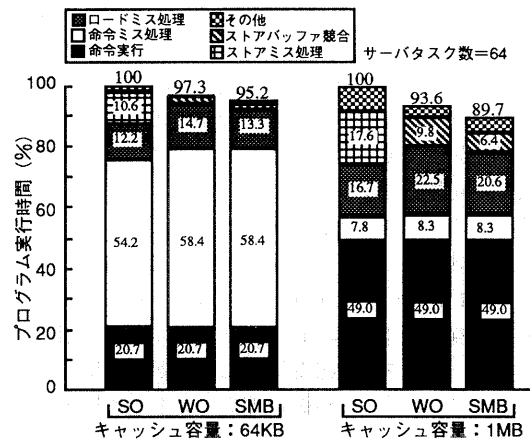


図 8 ストアミスバッファ方式の効果

Fig. 8 Performance gain on store miss buffer.

を比較したものである。キャッシュ容量は 64 KB と 1 MB で比較した。ここで、キャッシュ容量 64 KB とは、命令キャッシュ 64 KB / データキャッシュ 64 KB を意味する。CPI は各容量において、ストロングオーダ方式を 100%とした相対比率で示している。各 CPI は、要因ごとに分類して示している。要因のなかで、ストアバッファ競合は、ストアバッファ溢れによる待ち時間や、後続のロードアクセスがストアバッファとアドレス競合して待たされる時間を含む。“その他”には、データページ処理の待ち時間や、キャッシュビギーに伴う待ち時間などが含まれる。なお、キャッシュ容量 64 KB で、命令実行の時間比率が約 20% とかなり低くなっているが、これはベンチマークである TPC-B では、キャッシュミス率が命令で約 8%, データで約 5% と高いこと、またプロセッサが 120 MHz と高速であるため、キャッシュミス時のペナルティが 39 サイクルと大きくなることが理由として挙げられる。

ストロングオーダ方式のなかで隠蔽可能な部分はストアミス処理とデータページ処理待ちであり、キャッシュ容量 64 KB で全体の 12.0%, 1 MB で 22.5% を占める。この値は、ウイークリィオーダ方式による理想的な性能向上値となる。従来型ストアバッファを用いたウイークリィオーダ方式では、ストアミス処理時間で隠蔽できるが、命令ミス処理、ロードミス処理時間增加や、ストアバッファ競合増加のために全体としてはキャッシュ容量 64 KB で 2.7%, 1 MB で 6.4% 程度の性能向上にとどまる。命令ミス・ロードミス処理時間の増加は、バックエンドで実行されるストアミス処理との競合に起因するものであり、ストアバッファ競合の増加は 3.2 節で述べたように、データアクセスのローカリティからストアミス処理の終了していない

いラインに後続ロードアクセスが発行され待たされるためである。

一方、ストアミスバッファ方式では、ストアミスのみをバッファに登録する効果や複数のストアミス処理を並列に処理できる効果により、ストアバッファ競合の低減が可能となる。キャッシュ容量 1 MB では、従来型ストアバッファ方式に対して 3.9%，ストロングオーダ方式に対して 10.3% の性能向上が可能となる。しかし、キャッシュ容量 64 KB ではほとんど性能向上がみられない。これは、命令ミス処理の占める割合が多く、ストアミス処理を隠蔽した効果が見えにくいこと、またバスビジー率が約 60% を越えるため複数のトランザクションを発行しても、効率良く処理されないことに起因する。

表 5 は、ロードアクセスがストアバッファ競合を起こす比率およびその平均待ち時間を、ウイークリイオーダ方式とストアミスバッファ方式で比較したものである。ストアミスバッファ方式では、ストアバッファの滞留エントリ数を低減できる効果から、ストアバッファ競合比率をキャッシュ容量 64 KB で 33.3%，1 MB で 50% 低減することが可能である。一方、平均待ち時間

表 5 ライト無効化方式のストアバッファ競合
Table 5 Conflicts on the store buffer for the write-invalid protocol.

ライト処理方式	キャッシュ容量	ストアバッファ競合比率(Load 当り)	平均待ちサイクル
Weakly Order 方式	64 KB	1.2%	37.8 mc
	1 MB	2.4%	31.9 mc
ストアミスバッファ方式	64 KB	0.8%	47.3 mc
	1 MB	1.2%	41.9 mc

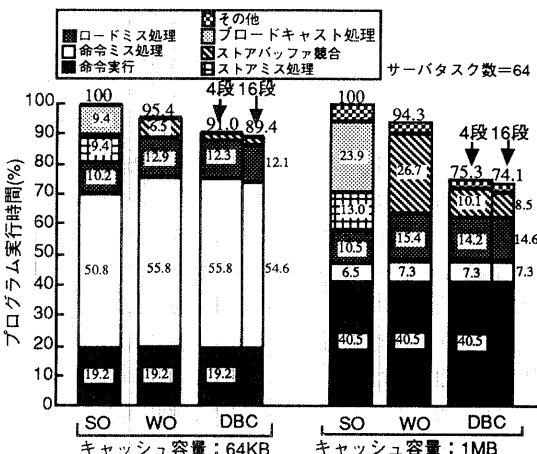


図 9 遅延プロードキャスト方式の効果

Fig. 9 Performance gain on delayed broadcast protocol.

ちサイクルは約 2 割程度増加している。これはストアミスバッファでは、複数のトランザクションが発行されるため、バスビジー率が増加するためである。総合すると、競合比率低減の効果が大きく性能向上が実現できる。

5.3 遅延プロードキャスト方式の効果

図 9 は、ライト更新方式に関して、ストロングオーダ方式(SO)，従来型ストアバッファを用いたウイークリイオーダ方式(WO)，および提案した遅延プロードキャスト方式(DBC)の CPI を比較したものである。遅延プロードキャスト方式では、プロードキャストバッファ段数を 4 段 (128 バイト) で滞留許可エントリ数を 2 としたもの，および段数 16 段 (512 バイト) で滞留許可エントリ数を 8 としたものを示している。両者とも各エントリの滞留許可時間は 500 マシンサイクルとした。CPI の詳細分析でプロードキャスト処理が追加されており、これは Shared ラインへのストアに伴うプロードキャスト処理が終了するまでの待ち時間表示する。

ストロングオーダ方式のなかで隠蔽可能な部分はストアミス処理、プロードキャスト処理およびデータページ処理待ちであり、キャッシュ容量 64 KB で全体の 18.1%，1 MB で 37.7% を占める。従来型ストアバッファを用いたウイークリイオーダ方式では、ストアミス処理時間、プロードキャスト処理時間隠蔽できるが、命令ミス処理、ロードミス処理時間増加や、ストアバッファ競合増加のために全体としてはキャッシュ容量 64 KB で 4.6%，1 MB で 5.7% 程度の性能向上にとどまる。一方、遅延プロードキャスト方式では、4 段のプロードキャストバッファにより、ストアバッファ競合を大幅に低減することが可能となり、ウイークリイオーダ方式に対して、キャッシュ容量 64 KB で 4.4%，1 MB で 19.0% の性能向上が実現できる。これは、プロードキャストバッファにより、複数のプロードキャストをまとめて処理できることから、ストアバッファに滞留するエントリ数を削減でき、後続ロードアクセスとの競合を避けることができるからである。プロードキャストバッファが 4 段と 16 段を比較しても性能向上はほとんど見られない。これは、ストアアクセスのローカリティから、比較的少ない段数で効果が十分得られるためと予想される。

表 6 には、プロードキャストバッファのヒット率およびプロードキャストトランザクションの発生率を示した。ヒット率は 4 段で 48.4~53.2% となり、小容量のバッファでプロードキャスト頻度を半減できることが明らかになった。これに伴って、プロードキャスト

表 6 ブロードキャストバッファの効果
Table 6 Effects of the broadcast buffer.

ライト 処理方式	BCバッファ 段数	キャッシュ 容量	BCバッファ ヒット率	BC発生率 (命令当たり)
Weakly Order 方式		64 KB		1.51%
		1 MB		1.68%
遅延ブロード キャスト方式	4 段 (滞留許可 2 段)	64 KB	48.4%	0.76%
		1 MB	53.2%	0.81%
	16 段 (滞留許可 8 段)	64 KB	50.7%	0.72%
		1 MB	58.4%	0.70%

滞留許可時間 : 500 mc BC : Broadcast

表 7 ライト更新方式のストアバッファ競合

Table 7 Conflicts on the store buffer for the write-broadcast protocol.

ライト 処理方式	キャッシュ 容量	ストアバッファ 競合比率(Load 当り)	平均待ち サイクル
Weakly Order 方式	64 KB	1.7%	55.4 mc
	1 MB	3.3%	61.2 mc
遅延ブロード キャスト方式	64 KB	1.2%	42.3 mc
	1 MB	2.4%	38.6 mc

トランザクションの命令当たり発生率も約半減されている。表 7 には、ロードアクセスがストアバッファ競合を起こす比率およびその平均待ち時間を、ウイークリィオーダ方式と遅延ブロードキャスト方式で比較したものである。遅延ブロードキャスト方式では、ストアバッファの滞留エントリ数を低減できる効果から、ストアバッファ競合比率をキャッシュ容量 64 KB で 29.5%, 1 MB で 27.3% 低減することが可能である。また、平均待ちサイクルも低減でき、大幅な性能向上が実現できている。

6. 関連研究

ウイークリィオーダモデルを活用したマルチプロセッサとしては、スタンフォード大学の DASH¹²⁾, Paradigm¹⁶⁾, 東京大学の分散メモリ型マルチプロセッサ¹⁷⁾などが代表的なものとして知られている。これらのシステムでは、小規模なマルチプロセッサを 1 クラスタとし、主にクラスタ間のキャッシュ一致保証プロトコルが議論されている。本論文では、高性能プロセッサと主メモリ間のギャップが拡大するにつれ、クラスタ内でもウイークリィオーダモデルの活用が重要であることに注目した。そして、クラスタ内を対象にウイークリィオーダモデルの性能を最大限に引き出すキャッシュ一致保証のメカニズムを提案した。更に、従来の評価が科学技術計算中心であるのに対し、ビジネ

スアプリケーションを対象として性能分析を行った点が異なる。

ライス大学の Munin¹⁸⁾は、分散メモリ構成において、他ノードのメモリ更新をソフトウェアにてバッファリングし遅延させる WRITE_SHARED プロトコル方式を提案している。これに対し、本論文で提案した遅延ブロードキャスト方式は、ウイークリィオーダモデルの性能を引き出すキャッシュ一致保証のハードウェアメカニズムとして提案されている点が異なる。また、遅延させる時間を遅延バッファの滞留エントリ数、およびエントリの滞留時間によって決定するといった機構を備えた点で異なる。

7. おわりに

ビジネス向けマルチプロセッササーバを対象に、ウイークリィオーダモデルを効率よく実装するキャッシュ一致保証方式の提案と性能評価を行った。代表的なキャッシュ制御方式であるライト無効化方式とライト更新方式それについて考察した。ライト無効化方式では、ストアミスのみを登録するストアミスバッファにより、ロードミス処理とストアミス処理を並列処理し、かつ複数のストアミス処理をパイプライン処理する方式を提案した。また、ライト更新方式に関しては、ブロードキャスト処理を一定期間遅延させることによって、複数のブロードキャストをまとめて処理する遅延ブロードキャスト方式を提案した。

OS 処理やタスクスイッチの影響も含めて評価が可能なトレースドリブンシミュレータを構築し、OLTP のベンチマークである TPC-B プログラムを用いて性能評価を行った。その結果、ストアミスバッファ方式により、ストロングオーダ方式に比べて 4.8~10.3% の性能向上が可能であることを明らかにした。性能向上の主要な要因は、ストアミスのみを登録する効果と、複数のストアミス処理をパイプライン処理する効果により、ストアバッファでのアドレス競合を低減できるためである。また、遅延ブロードキャスト方式では、ブロードキャスト頻度を半減でき、9.0~24.7% の性能向上が可能であることを明らかにした。

現在、本論文で提案された方式は、試作したマルチプロセッサには実装されていない。しかし、ビジネスアプリケーションを試作機上で実行し採取したキャッシュミス率やアドレストレースなど重要なデータから、方式の評価をより実機評価に近いものにすることが可能となった。今後、実際に提案した方式を実装し評価を進める予定である。

謝辞 本研究を進める上で貴重なご助言を頂いた九

州大学情報システム講師村上和彰氏に感謝します。また、評価データを提供頂いた(株)日立製作所システム開発研究所の吉澤氏、高崎氏に感謝します。

参考文献

- 1) Chan, K. et al.: Multiprocessor Features of the HP Corporate Business Servers, *Proc. of COMPCON93*, pp. 330-337 (1993).
 - 2) Ceklcov, M. et al.: SPARCcenter 2000: Multiprocessing for the 90's!, *Proc. of COMPCON93*, pp. 345-353 (1993).
 - 3) Allison, B. : DEC 7000/10000 Model 600 AXP Multiprocessor Server, *Proc. of COMPCON93*, pp. 456-464 (1993).
 - 4) Dubois, M. et al.: Memory Access Buffering in Multiprocessors, *Proc. of 13th ISCA*, pp. 434-442 (1986).
 - 5) Adve, S. V. and Hill, M. D.: Weak Ordering—A New Definition, *Proc. of 17th ISCA*, pp. 2-14 (1990).
 - 6) Kroft, D.: Lockup-Free Instruction Fetch/Prefetch Cache Organization, *Proc. of 8th ISCA*, pp. 81-87 (1981).
 - 7) Sohi, G. S. and Franklin, M.: High-Bandwidth Data Memory Systems for Superscalar Processors, *Proc. of ASPLOS-IV*, pp. 53-62 (1991).
 - 8) McGrory, J. J. et al.: Transaction Processing Performance on PA-RISC Commercial Unix Systems, *Proc. of COMPCON92*, pp. 199-206 (1992).
 - 9) Gharachorloo, K. et al.: Performance Evaluation of Memory Consistency Models for Shared-Memory Multiprocessors, *Proc. of ASPLOS-IV*, pp. 245-257 (1991).
 - 10) 永 尚哉, 村上和彰: メモリ・コンシステンシ・モデル—新しいモデルの提案, および, その能力比較—, 並列処理シンポジウム JSPP 93, pp. 253-260 (1993).
 - 11) Sweazey, P. and Smith, A. J.: A Class of Compatible Cache Consistency Protocols and Their Support by the IEEE Futurebus, *Proc. of 13th ISCA*, pp. 414-423 (1986).
 - 12) Lenoski, D. et al.: The DASH Prototype: Implementation and Performance, *Proc. of 19th ISCA*, pp. 92-103 (1992).
 - 13) Torrellas, J., Gupta, A. et al.: Characterizing the Caching and Synchronization Performance of a Multiprocessor Operating System, *Proc. of ASPLOS-V*, pp. 162-174 (1992).
 - 14) TPC Benchmark A, Transaction Processing Performance Council (TPC) (1991).
 - 15) 高崎繁夫ほか: PA-RISC 用ステップ解析システムの開発, 第 47 回情報処理学会全国大会論文集, p. 6-33 (1993).
 - 16) Cheriton, D. R. et al.: Paradigm: A Highly Scalable Shared-Memory Multicomputer Architecture, *IEEE Computer*, pp. 33-46 (Feb. 1990).
 - 17) 松本 尚ほか: Memory-Based Processorによる分散共有メモリ, 並列処理シンポジウム JSPP 93, pp. 245-252 (1993).
 - 18) Carter, J. B. et al.: Implementation and Performance of Munin, *13th ACM Symp. Operating System Principles*, pp. 152-164 (1991).
- (平成 6 年 1 月 21 日受付)
(平成 7 年 5 月 12 日採録)



森岡 道雄 (正会員)

1959 年生。1982 年九州大学工学部電子工学科卒業。1984 年同大大学院修了課程修了。同年(株)日立製作所入社。現在、同社日立研究所に所属。主として計算機ハードウェアアーキテクチャの研究に従事。並列処理および高信頼化技術に興味を持つ。1990 年米国カーネギーメロン大学客員研究員。1994 年 IEEE ICCD 論文賞。電子情報通信学会, IEEE, ACM 各会員。



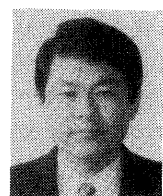
中三川哲明 (正会員)

1961 年生。1983 年宇都宮大学工学部情報工学科卒業。1985 年同大学院情報工学専攻修士課程修了。同年(株)日立製作所入社。以来同社日立研究所。計算機アーキテクチャの研究に従事。電子情報通信学会会員。



黒澤 廉一 (正会員)

1953 年生。1980 年東北大学大学院工学研究科修士課程修了。同年(株)日立製作所入社。マルチプロセッササーバ、無停止型計算機の研究に従事。現在、同社日立研究所システム第 1 部主任研究員兼 HIDIC システムグループリーダ。電子情報通信学会, IEEE, ACM 各会員。



石川 佐孝

1950 年生。1973 年山形大学工学部電子工学科卒業。1975 年同大学大学院工学研究科電気工学専攻修士課程修了。同年、(株)日立製作所入社。現在、同社オフィスシステム事業部所属。UNIX サーバの開発に従事。